

تقييم صلاحية كاؤولين دويخلة ورمال أم أرضمة ومخلفات الزجاج المنزلية لأغراض تحضير البورسلين الكيميائي

ستار جبار الخفاجي	فراس فيصل الحمداني	علي محمد قائد
قسم علم الأرض	مركز بحوث البناء والزجاج	قسم علم الأرض
كلية العلوم	وزارة الصناعة والمعادن	كلية العلوم
جامعة البصرة		جامعة البصرة

(تاريخ الاستلام 2004/10/12 ، تاريخ القبول 2005/5/12)

الملخص

ثلاثة عشر خلطة من أطيان كاؤولين دويخلة ورمال أم أرضمة ومخلفات الزجاج تم تشكيلها تحت ضغط 300 كغم/سم² وبالطريقة شبه الجافة وحرقتها بدرجات حرارة 1050°م، 1100°م، 1150°م، 1200°م على التوالي باستخدام برنامج حرق خاص.

أجريت الفحوصات الفيزيائية (المسامية والامتصاصية والكثافة والوزن النوعي) والكيميائية والميكانيكية على النماذج المحروقة وبينت النتائج فعالية مخلفات الزجاج كمادة مصهرة بديلة عن الفلدسبار، مع مطابقة مواصفات المنتج إلى درجة كبيرة مع المواصفات العالمية للبورسلين الكيميائي.

Assessment of Dwekhla Kaoline, Um-Radhuma Sand and Domestic Glass Waste for the Preparation of Chemical Porcelain

Sattar J. Al-Khafaji
Department of Geology
College of Science
Basrah University

Firas F. Al-Hamdani
Building and Glass
Research Center
Ministry of Industry and Minerals

Ali M. Kaid
Department of Geology
College of Science
Basrah University

ABSTRACT

Thirteen mixtures from natural raw materials (Dwekhla Kaoline, Um-Radhuma sand) and synthetic waste glass were prepared to evaluate their suitability for preparation of chemical porcelain.

The mixtures were formed under 300 Kg/cm² using semi dry method, then the mixtures were fired at 1050, 1100, 1150, 1200°C respectively.

The results of physical (porosity, water absorption, Bulk density, and specific gravity) chemical and mechanical properties at prepared samples showed an agreement with the American and Russian specifications for chemical porcelain, as well as the

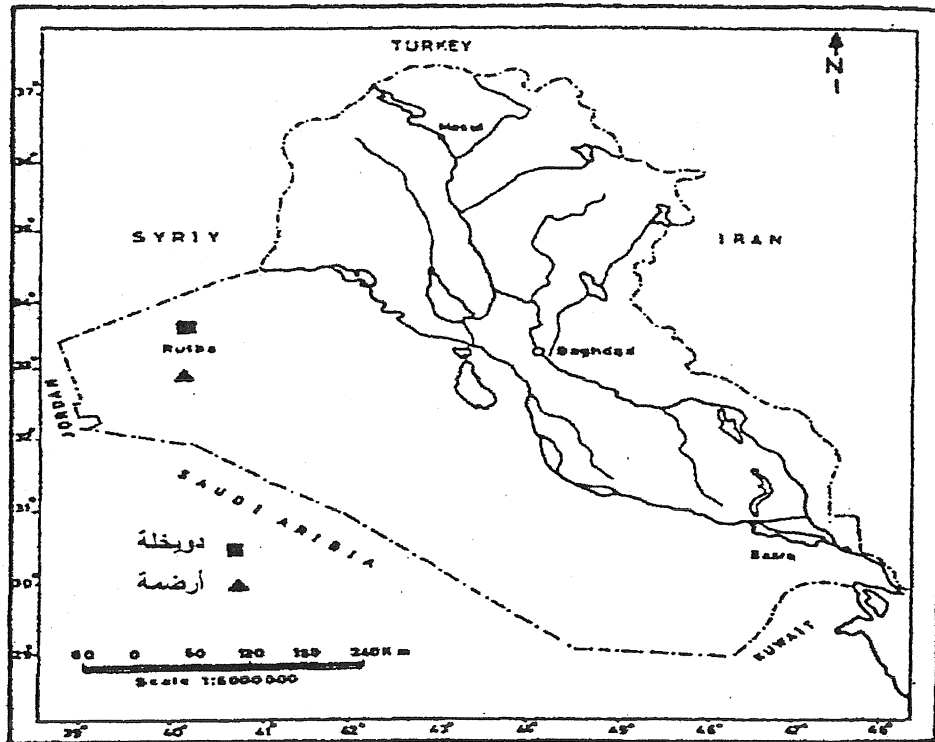
results showed that waste glass was suitable as a flux material in preparation of chemical porcelain instead of feldspar.

المقدمة

تشكل كل من أطيان الكاؤولين والرمال المتواجدة بكميات اقتصادية وبمواصفات جيدة في الصحراء الغربية من العراق مواد خام رئيسة يمكن استغلالها لأغراض صناعة السيراميك ومنها البورسلين. وبسبب ارتفاع درجة انصهار هذه المواد فإنها تحتاج إلى مواد مصهرة تعمل على خفض درجة الحرارة اللازمة لتليدها (Sintering) وعادة ما يستخدم الفلدسبار البوتاسي لهذا الغرض (Carty and Senapati, 1998) إذ يدخل في صناعة الأنواع المختلفة من البورسلين وخاصة الكيميائي منها، ولكون هذه المادة غير متواجدة في القطر فقد تم تقييم واستخدام مخلفات الزجاج للتعرف على مدى صلاحيتها كمادة مصهرة بديلة عن الفلدسبار في هذا البحث.

المواد الاولية

توجد ترسبات أطيان الكاؤولين الصناعية في منطقة دويخلة غرب العراق ضمن منخفض الكعرة، وبالتحديد ضمن تكوين الكعرة (البرموكاربوني)، بينما تتواجد ترسبات رمال أم أرضمة (الكريتاسي المتوسط) في منطقة أم أرضمة غرب العراق وعلى بعد (10) كم غرب مدينة الرطبة (شكل 1)، أما بالنسبة لمخلفات الزجاج فكانت عبارة عن مخلفات القناني المنزلية المستهلكة.



شكل 1: خريطة العراق موضح عليها مواقع المواد الاولية (كاؤولين دويخلة ورمال أم أرضمة).

طرائق العمل

إنتاج الأجسام السيراميكية:

إن إنتاج الأجسام السيراميكية قيد البحث مر بعدد من المراحل ابتداءً من الحصول على المواد الأولية (أطيان الكاؤولين ورمل سليكي ومخلفات الزجاج) من مقالعها ثم التكسير، والطحن وبعدها إجراء الفحوصات التقييمية (تحليل كيميائي وتدرج حبيبي)، ثم تشكيل الأجسام السيراميكية بأشكال قرصية أقطارها (5) سم وبارتفاع (1.5) سم تقريباً وباستخدام قالب فولاذي انكليزي الصنع وبالطريقة شبه الجافة مع إضافة (8-9) % ماء تشكيل، وبضغط مقداره (300) كغم/سم²، ثم التجفيف، وأخيراً الحرق وقد تم إعداد (13) خلطة (جدول 1).

جدول 1: النسب الوزنية للمواد الأولية المستخدمة في إنتاج الأجسام السيراميكية.

المواد الأولية (%)			الخلطة	المجموعة
مخلفات الزجاج	رمل سليكي	كاؤولين		
5	**	95	A1	A
10	**	90	A2	
15	**	85	A3	
20	**	80	A4	
25	**	75	A5	
30	**	70	A6	
10	20	70	B1	B
10	30	60	B2	
10	40	50	B3	
20	10	70	C1	C
20	20	60	C2	
20	30	50	C3	
20	40	40	C4	

** مادة غير مضافة.

الفحوصات التقييمية:

أجريت الفحوصات الفيزيائية (التقلص الطولي، والمسامية الظاهرية، وامتصاصية الماء، والكثافة الكلية) على الأجسام السيراميكية المنتجة طبقاً للمواصفات الأمريكية (ASTM C326-82) (1989)، (ASTM C373-88) (1989)، والميكانيكية والتي تشمل مقاومة الانضغاط (ASTM C773-88) (1989)، والصلادة والتي أجريت باستخدام طريقة (Rockwell) بواسطة جهاز الصلادة نوع (Wilson-Rockwell) وذلك بتسليط ثقل مقداره (15) كغم، فيما أجريت الفحوصات الكيميائية طبقاً للمواصفات الأمريكية (ASTM C-279) (1989)، والروسية (GOST 900/400) (حسن، 2001)، وكذلك المواصفة العراقية (1627/1991)، كما أجري فحص مقاومة القواعد طبقاً للطريقة الواردة في (Budnikove, 1964).

النتائج والمناقشة

أولاً: الفحوصات التقييمية للمواد الأولية:

يوضح الجدول (2) (أ، ب، ج) نتائج معدلات التحليل الكيميائي للمواد الأولية المستخدمة (كاؤولين دويخله، ورمل أم أرضمة السليكي، ومخلفات الزجاج) إذ يتبين إن أطيان الكاؤولين تحتوي على 49.8% سليكا، 33.4% ألومينا، و 1.1% أكاسيد حديد، وبمقارنة هذه النتائج مع التحليل الكيميائي للكاؤولين المثالي (Theoretical) الذي يحتوي على 46.55% سليكا و 39.50% ألومينا وحسب ما ذكر في (Carty, 1999) يتبين جودة كاؤولين دويخله، وبالتالي إمكانية استخدامه كمادة أولية لصناعة الأجسام البورسلينية، ويتكون الرمل السليكي من 98.38% سليكا، مع انخفاض نسبة الشوائب فيه، وبالتالي ملاءمته لأغراض البحث. أما بالنسبة لمخلفات الزجاج فتتكون من 72.36% سليكا، و 15.13% اوكسيد الصوديوم، و 6.67% اوكسيد الكالسيوم.

جدول 2-أ: التحاليل الكيميائية والمعدلات لكاؤولين دويخله (3 نماذج).

المعدل	K.3	K.2	K.1	النماذج	
				الأكاسيد	
49.81	51.36	48.68	49.39	SiO ₂	
33.4	29.4	35.85	34.91	Al ₂ O ₃	
0.22	0.30	0.17	0.21	CaO	
0.46	0.55	0.38	0.47	MgO	
1.11	1.53	0.93	0.87	Fe ₂ O ₃	
1.11	1.09	1.3	0.95	TiO ₂	
0.50	0.50	0.59	0.42	K ₂ O	
0.43	0.41	0.43	0.45	Na ₂ O	
-	-	-	-	SO ₃	
12.6	13.5	-	11.8	L.O.I	

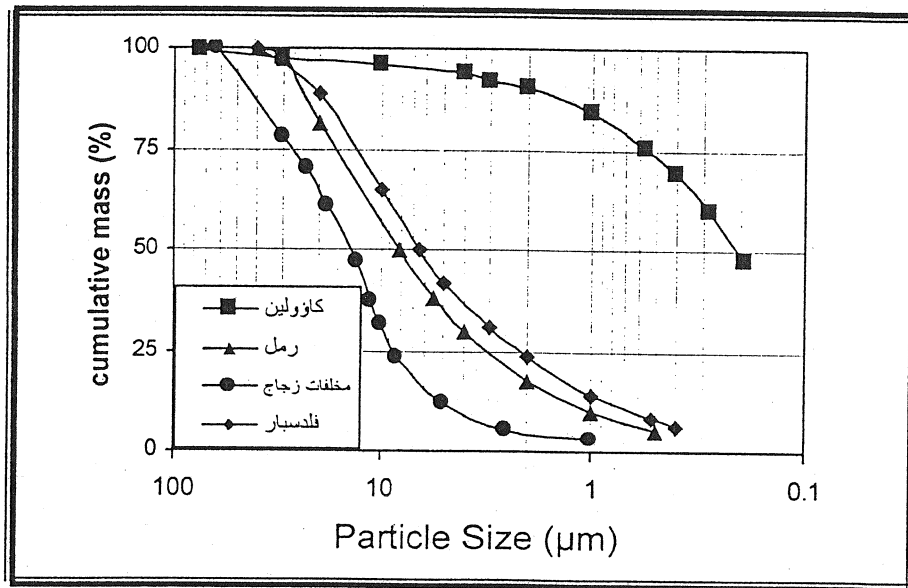
جدول 2-ب: التحاليل الكيميائية والمعدلات لرمل أم أرضمة السليكي (3 نماذج).

المعدل	S.3	S.2	S.1	النماذج	
				الأكاسيد	
98.38	98.45	99.37	97.34	SiO ₂	
0.36	0.30	0.42	0.36	Al ₂ O ₃	
0.32	0.38	0.32	0.26	CaO	
0.150	0.160	0.142	0.150	MgO	
0.060	0.065	0.062	0.051	Fe ₂ O ₃	
0.25	0.23	0.41	0.12	TiO ₂	
0.05	0.055	0.040	0.06	K ₂ O	
0.089	0.084	0.085	0.097	Na ₂ O	
0.056	0.087	0.083	-	SO ₃	
0.35	0.36	0.41	0.29	L.O.I	

جدول 2-ج: التحاليل الكيميائية والمعدلات لمخلفات الزجاج (3 نماذج).

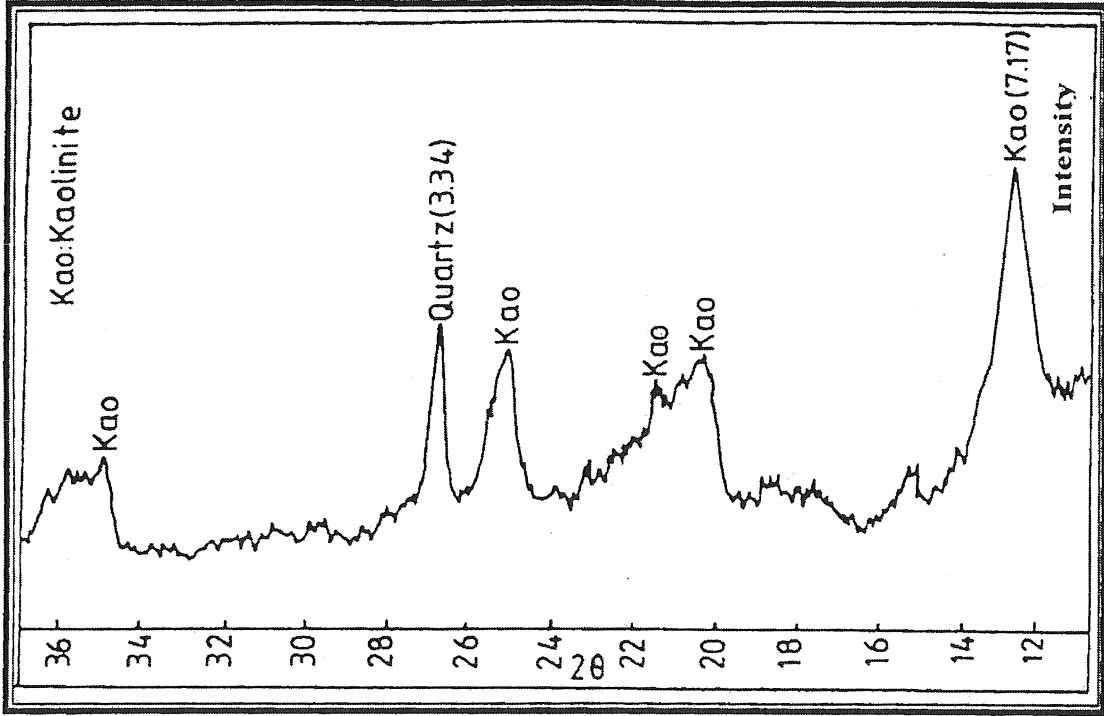
المعدل	G.3	G.2	G.1	النماذج الأكاسيد
72.36	76.30	66.70	74.1	SiO ₂
1.640	1.56	1.75	1.61	Al ₂ O ₃
6.67	6.62	5.30	8.11	CaO
3.78	3.83	4.33	3.18	MgO
0.08	0.076	0.068	0.096	Fe ₂ O ₃
-	-	-	-	TiO ₂
0.020	0.013	0.018	0.031	K ₂ O
15.13	15.22	13.21	16.96	Na ₂ O
0.36	0.39	0.29	0.41	SO ₃
-	-	-	-	L.O.I

يتبين من الشكل (2) إن متوسط الحجم الحبيبية المستخدمة للكاؤولين والرمل السليكي ومخلفات الزجاج هي $(14, 8.1, 0.21)\mu\text{m}$ على التوالي، وقد اجري الفحص باستخدام طريقه الهيدروميتر (Hydrometer) وباستخدام الـ (Sidegraph).



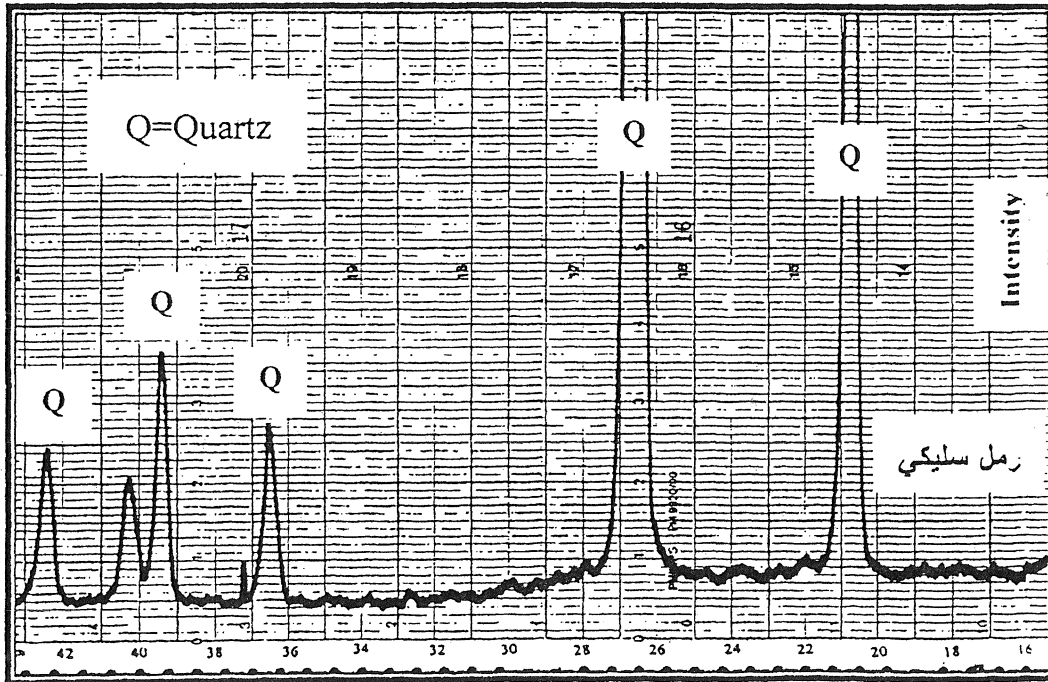
شكل 2: التوزيع الحبيبي للكاؤولين والرمل السليكي ومخلفات الزجاج.

أما من الناحية المعدنية فقد أشارت نتائج التحليل بالأشعة السينية الحائدة (XRD) الى سيادة معدن الكاؤولينايت في أطيان دويخلة والذي ظهر عند زاوية الانعكاس (2θ) $(12.4^\circ, 24.8^\circ)$ (شكل 3)، فضلاً عن ظهور نسبة من معدن الكوارتز عند زاوية الانعكاس (26.66°) .



شكل 3: مخطط الأشعة السينية الحائدة للكاؤولين.

وسيادة معدن الكوارتز في رمال أم أرضمة والذي ظهر عند زاوية الانعكاس (2θ) (26.66°, 2085°) (شكل 4).



شكل 4: مخطط الأشعة السينية الحائدة لرمال أم أرضمة.

ثانياً: الفحوصات التقييمية للأجسام المصنعة:

يبين الجدول (3) نتائج الفحوصات الفيزيائية (المسامية الظاهرية، وامتصاصية الماء، والكثافة الكلية، والتقلص الطولي) للنماذج المحروقة بدرجات حرارة (1050-1200) م° بفاصلة قدرها (50) م°، وباستخدام برنامج حرق خاص (90) م°/ساعة، وزمن انضاجي ساعة ونصف عند كل درجة، من هذه النتائج والأشكال (5, 6, 7) يتبين زيادة في قيم الكثافة الكلية، والتقلص الطولي، وانخفاض قيم المسامية الظاهرية، وامتصاصية الماء للأجسام المصنعة بزيادة درجات حرارة الحرق للنماذج (A1,A2,A3,A4,B1,B2,B3,C1,C2,C3,C4)، ويرجع سبب ذلك إلى استمرار تكون الطور الزجاجي السائل الذي يتغلغل داخل المسامات الموجودة بين الحبيبات المختلفة المكونة للجسم السيراميكي وربطها ببعض، إضافة إلى استمرار تكون أطوار معدنية جديدة وهي المولايت والكرستوبلايت والتريديمايت، أما بالنسبة للنماذج (A5,A6) ف لوحظ تحسن خواصها الفيزيائية بزيادة درجات حرارة الحرق حتى درجة حرارة 1150 م° لنفس السبب المذكور أعلاه، إلا انه عند الحرق بدرجة حرارة 1200 م° تتردى الخواص الفيزيائية جميعاً نتيجة لعبورها مرحلة التزجج (Over vitrification) مما أدى إلى حدوث عمليه الانصهار الموضعي (Hot Spot)، والتي ولدت ضغطاً أعاق التقلص الطولي وسبب زيادة في أبعاد النماذج بصورة غير منتظمة وقد يرجع سبب ذلك إلى فعالية مخلفات الزجاج المضافة بنسبة 25 و 30 % إذ أدت إلى إتمام عملية التليد عند درجات حرارة اقل من 1200 م°.

ومن خلال النتائج الموضحة في الجدول (3)، لوحظ ان النموذج A4 المصنوع من 80 % كاؤولين، و 20 % مخلفات زجاج المحروق بدرجة 1200 م° يمتلك أفضل المواصفات الفيزيائية، وبذلك يمكن القول أنه يمكن تصنيع الأجسام البورسلينية من الكاؤولين ومخلفات الزجاج دون الحاجة الى الرمل السليكي، ويرجع سبب ذلك إلى أن إضافة 20% من مخلفات الزجاج في الخلطة قد عملت على تكوين كمية مناسبة من الطور الزجاجي استطاع غلق جميع المسامات الموجودة بين الحبيبات المختلفة إضافة إلى زيادة في نسبة معدن المولايت، الذي يزداد تكونه بزيادة الطور الزجاجي السائل (Warrier, et al., 1989).

تُظهر نماذج المجموعة B انخفاضاً ملحوظاً في الخواص الفيزيائية المختلفة، ويرجع سبب ذلك إلى انخفاض نسبة مخلفات الزجاج المضافة (10%) على حساب زيادة نسبة كل من السليكا والكاؤولين، مما يعني عدم كفاية الطور السائل اللازم لسد المسامات الموجودة بين الحبيبات إضافة إلى زيادة في نسبة السليكا الحرة (free silica) في أرضية الجسم السيراميكي، وانخفاض نسبة معدن المولايت المتكون.

جدول 3: نتائج الفحوصات الفيزيائية للمجاميع المختلفة (A,B,C).

الخواص الفيزيائية				درجة حرارة الحرق °C	الخلطة	المجموعة
إمتصاصية الماء %	المسامية الظاهرية %	الكثافة الكلية gm/cm ³	التقلص الطولي			
13	26.8	1.96	8.5	1050	A1	A
7.1	16	2.05	9.24	1100		
3.8	7.7	2.15	11	1150		
0.95	2	2.2	11.38	1200		
10.4	21	1.99	8.1	1050	A2	
6.2	12	2.18	8.8	1100		
2.8	6	2.26	10	1150		
0.5	1.1	2.34	10.3	1200	A3	
5.3	11	2.1	7.8	1050		
2.8	5.4	2.22	8.5	1100		
1.3	2.5	2.3	9.1	1150		
0.2	0.42	2.4	9.4	1200	A4	
4	8.3	2.2	7.4	1050		
1.5	2.8	2.28	8.3	1100		
0.7	1.5	2.35	8.9	1150		
0	0	2.44	9.2	1200	A5	
3.5	7	2.24	7	1050		
0.98	2	2.3	8	1100		
0.5	1.1	2.35	8.2	1150		
0.61	1.3	2.33	7.8	1200	A6	
2.5	5.4	2.26	6.6	1050		
0.62	1.2	2.34	7.5	1100		
0.25	0.6	2.36	7.2	1150		
0.7	1.43	2.3	6.5	1200	B1	B
13.2	26.5	1.9	4.2	1050		
9.2	18.4	1.94	4.7	1100		
4.9	10.77	2.15	5	1150		
3	6.2	2.22	5.5	1200	B2	
14	28.6	1.85	3	1050		
9.7	19.9	1.9	3.3	1100		
5.5	11.6	2.1	3.7	1150		
3.38	7.4	2.19	4	1200	B3	
15	30.4	1.8	2.6	1050		
15	30.4	1.88	3	1100		
6.5	13.2	2	3.5	1150		
3.5	7.5	2.21	3.9	1200	C1	C
7	14.2	2.18	4	1050		
3.9	8.69	2.22	4.8	1100		
1.6	3.3	2.24	4.5	1150		
0.2	0.42	2.25	6.2	1200	C2	
5	10.1	2.15	4.4	1100		
1.6	3.8	2.21	5	1150		
0.22	0.52	2.24	5.5	1200		
9.5	19	1.95	1.8	1050	C3	
5.6	11.2	2.1	2.5	1100		
2.1	4.3	2.2	3.9	1150		
0.23	0.5	2.24	4.5	1200		
10.2	20	1.88	1.1	1050	C4	
6	12	2	1.9	1100		
2	4.5	2.18	3	1150		
0.05	0.1	2.25	3.8	1200		

وعند مقارنة نتائج المجموعات المختلفة مع بعضها يتبين ان النماذج (A3,A4,C4) تمتلك افضل الخواص الفيزيائية عند درجة الحرق 1200 م°، ويرجع السبب في ذلك إلى إن نسب مخلفات الزجاج المضافة المناسبة (15,20) % قد عملت على تكوين كمية مناسبة من الطور الزجاجي السائل إضافة إلى زيادة نسبة الأطوار الجديدة المتكونة، إذ إن زيادة نسبة معدن المولايت تزيد من قيم الكثافة الكلية (Budnikove, 1964).

ويبين الجدولان (4,5) نتائج الفحوصات الميكانيكية (الصلادة ومقاومة الانضغاط) والمقاومة الكيميائية للنماذج المختارة (A3,A4,B1,C4)، من خلال هذه النتائج والأشكال (8, 9) يتبين تحسن قيم الخواص الميكانيكية والمقاومة الكيميائية (يقال الفقدان بالوزن) مع زيادة درجات حرارة الحرق لجميع النماذج ويرجع سبب ذلك إلى استمرار تكون الطور الزجاجي السائل وزيادة نسبة معدن المولايت الذي يمتاز بخواص ميكانيكية عالية إضافة إلى مقاومته لفعل الأحماض والقواعد الفعالة (Aggressive) حتى في ظل درجات الحرارة العالية (Ullmans, 2002; Budnikove, 1964) كما تتحسن الخواص الميكانيكية أيضا بزيادة نسبة معدن الكريستوبلايت (Carty and Senapati, 1998).

وتبين مخططات الأشعة السينية الحائدة شكل (10) المعادن المكونة لكل نموذج، إذ يتبين إن معدن المولايت هو السائد إضافة إلى وجود معدني الكريستوبلايت والتريديمايت بنسب اقل.

جدول 4: نتائج الفحوصات الميكانيكية للنماذج المختارة (A3,A4,B1,C4).

مقاومة الانضغاط kg/cm ²	الصلادة (Rockwell)	درجة حرارة الحرق °C	الخلطة	المجموعة
1100	83	1050	A3	A
1500	88	1100		
1820	90.3	1150		
2000	92.2	1200		
1150	85	1050	A4	
1600	90	1100		
1900	91	1150		
2200	92.8	1200		
1000	78.5	1050	B1	B
1300	81	1100		
1630	84	1150		
1850	89	1200		
1020	82	1050	C4	C
1586	86	1100		
2100	92	1150		
2450	93.5	1200		

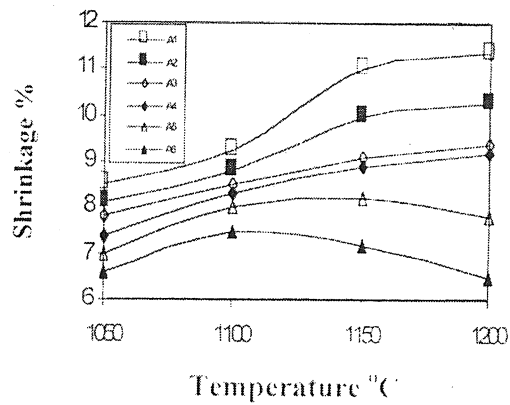
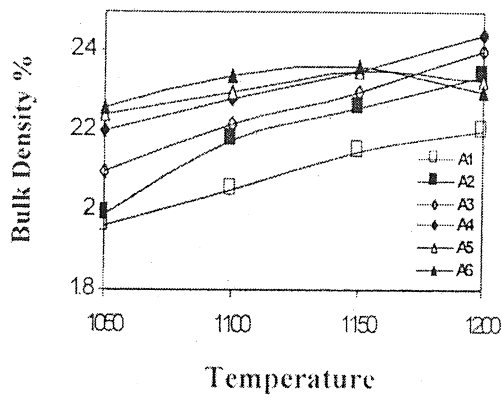
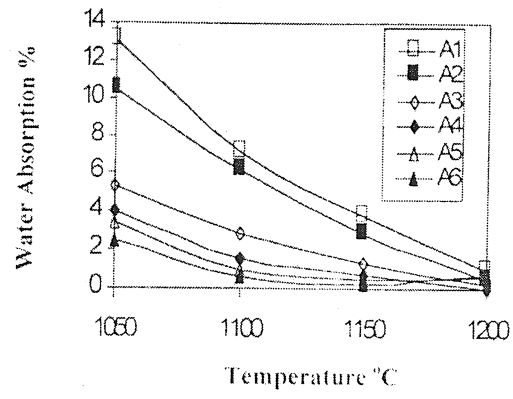
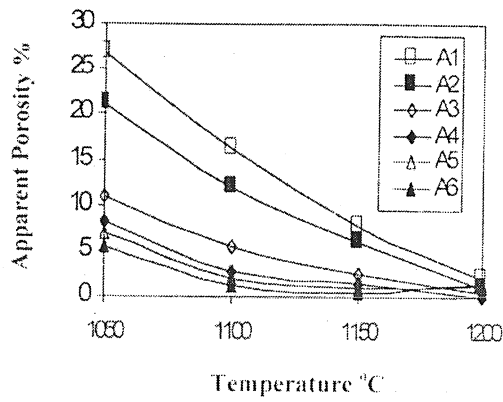
جدول 5: نتائج فحوصات المقاومة الكيميائية (الفقدان بالوزن %) طبقاً للمواصفة الأمريكية والروسية والعراقية للنماذج المختارة (A3,A4,B1,C4).

المقاومة الكيميائية (الفقدان بالوزن%)						درجة حرارة الحرق °C	الخلطة	المجموعة
العراقية % 1	ASTM % 2	NaOH % (10)	GOST% 3	H ₂ SO ₄ % (10)	HNO ₃ % (10)			
0.951	0.753	0.561	0.285	0.342	0.401	1050	A3	A
0.78	0.652	0.505	0.219	0.166	0.217	1100		
0.652	0.484	0.394	0.115	0.114	0.167	1150		
0.353	0.325	0.102	0.017	0.049	0.019	1200		
0.85	0.709	0.451	0.152	0.110	0.349	1050	A4	
0.751	0.621	0.253	0.114	0.064	0.136	1100		
0.55	0.414	0.165	0.018	0.038	0.105	1150		
0.292	0.245	0.096	0.010	0.015	0.017	1200		
0.905	0.903	0.631	0.616	0.742	0.851	1050	B1	B
0.82	0.824	0.435	0.420	0.435	0.621	1100		
0.55	0.552	0.295	0.311	0.342	0.205	1150		
0.361	0.355	0.104	0.130	0.290	0.118	1200		
0.906	0.808	0.580	0.507	0.465	0.802	1050	C4	C
0.76	0.683	0.358	0.303	0.234	0.404	1100		
0.506	0.445	0.255	0.245	0.156	0.189	1150		
0.305	0.221	0.080	0.007	0.015	0.005	1200		

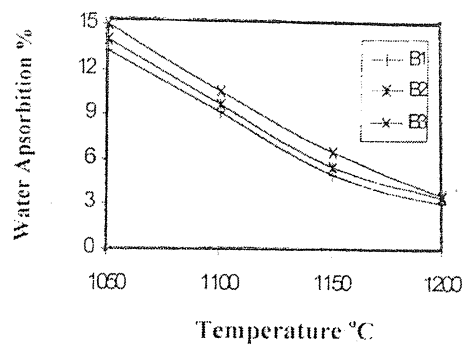
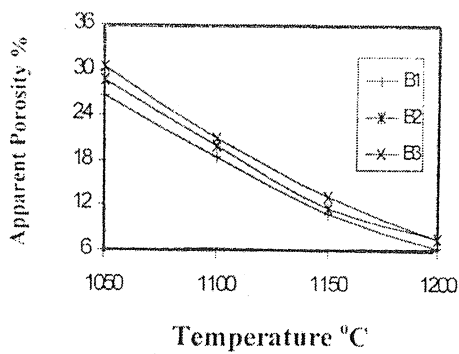
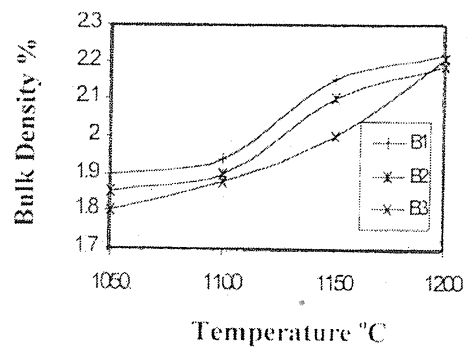
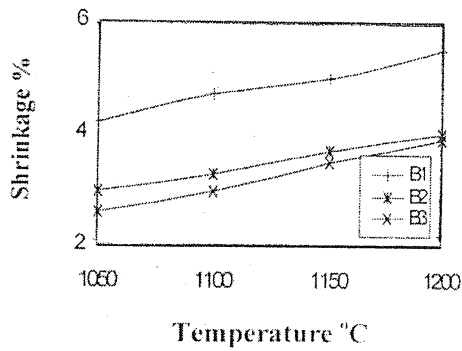
1. المواصفة القياسية العراقية رقم 1627، 1991

2. ASTM (C279-80) 1989

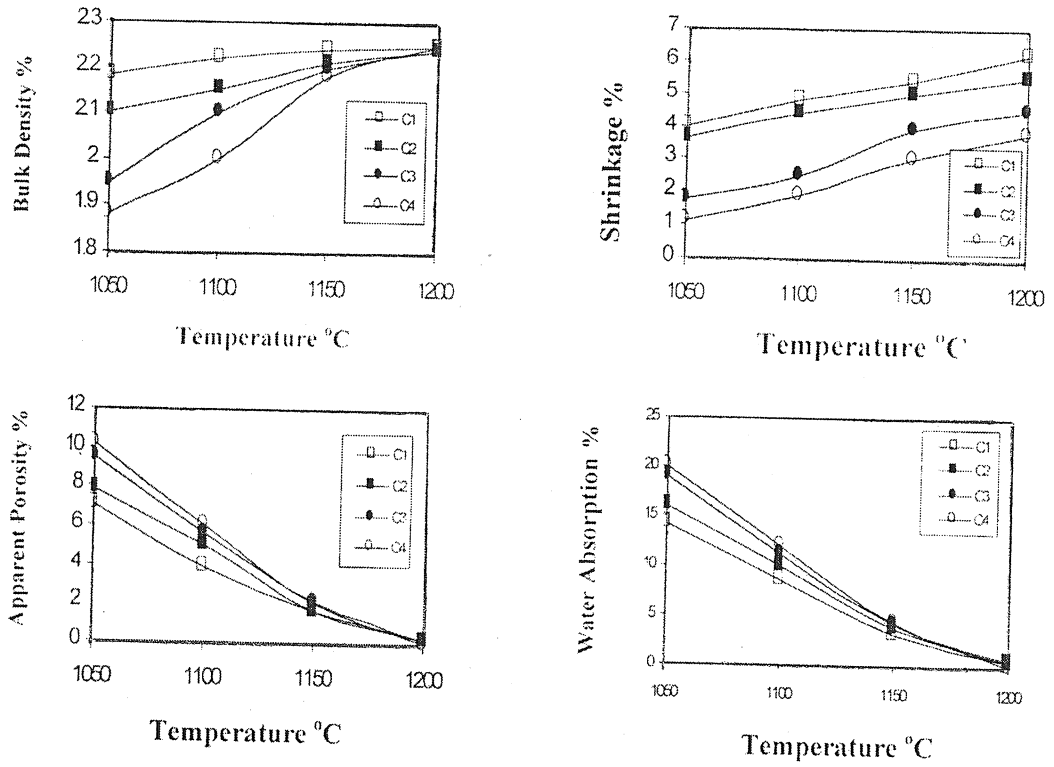
3. GOST 900/400 Budnikove, 1964



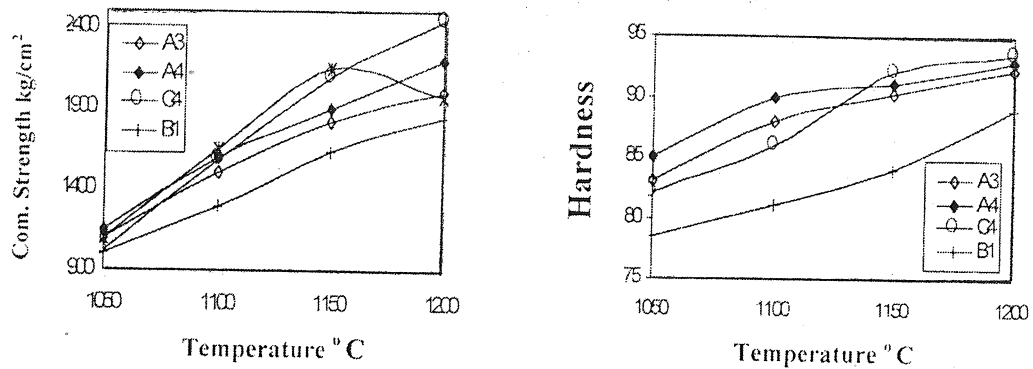
شكل 5: علاقة الخواص الفيزيائية (الكثافة الكلية وامتصاصية الماء والتقلص الطولي والمسامية الظاهرية) مع تغير درجات حرارة الحرق لنماذج المجموعة A.



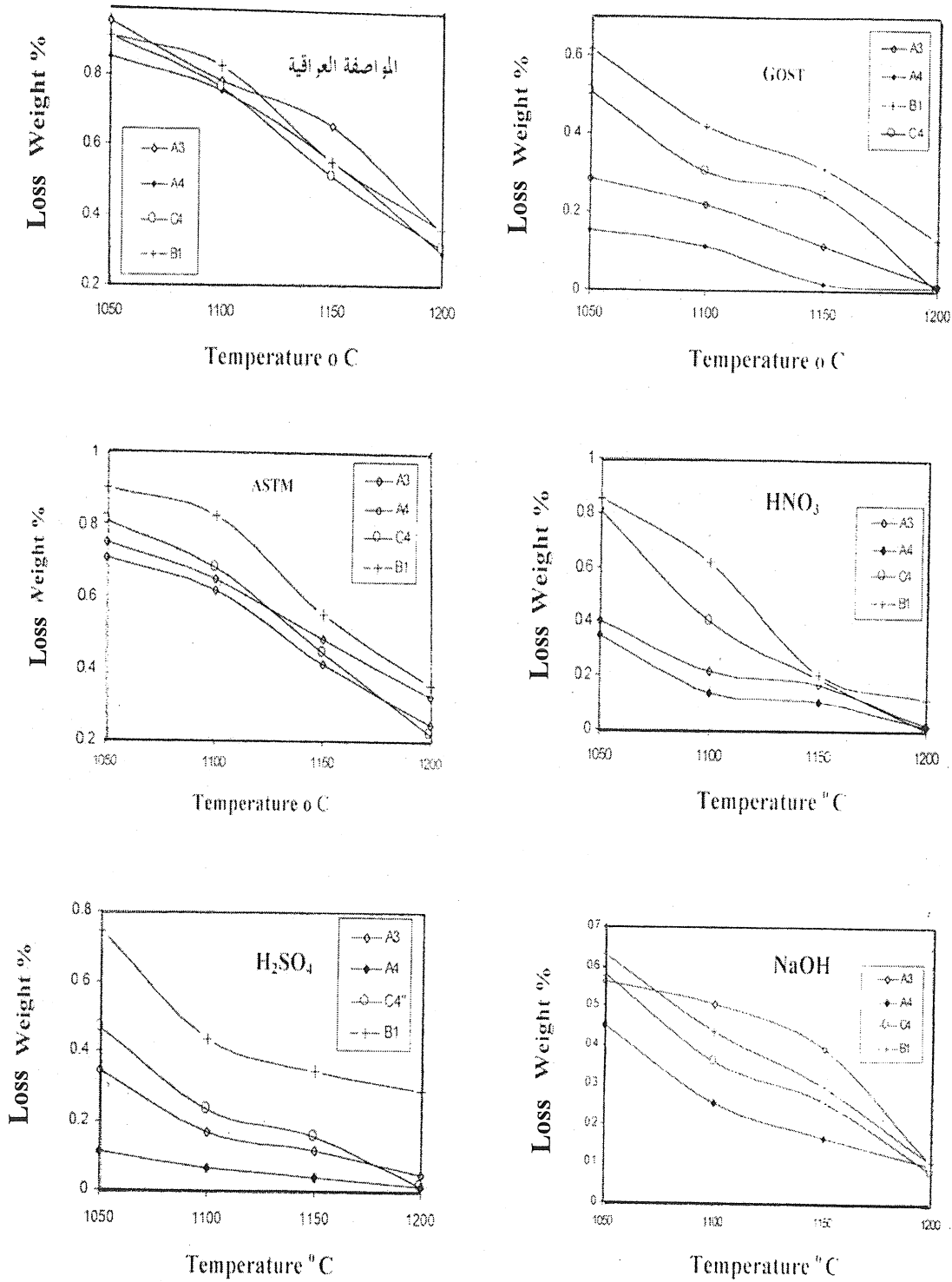
شكل 6: علاقة الخواص الفيزيائية مع تغير درجات حرارة الحرق لنماذج المجموعة B.



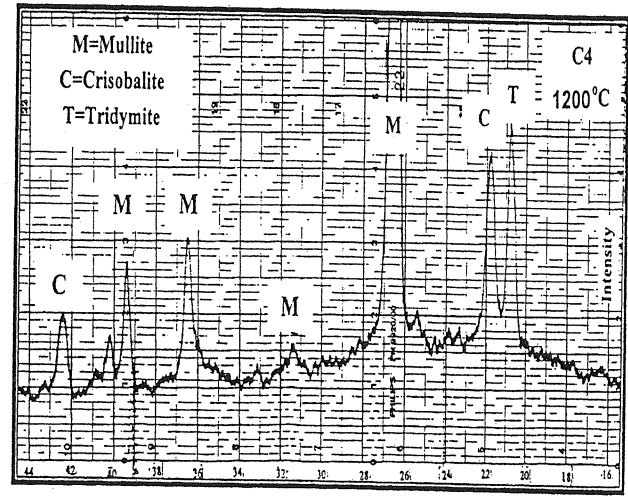
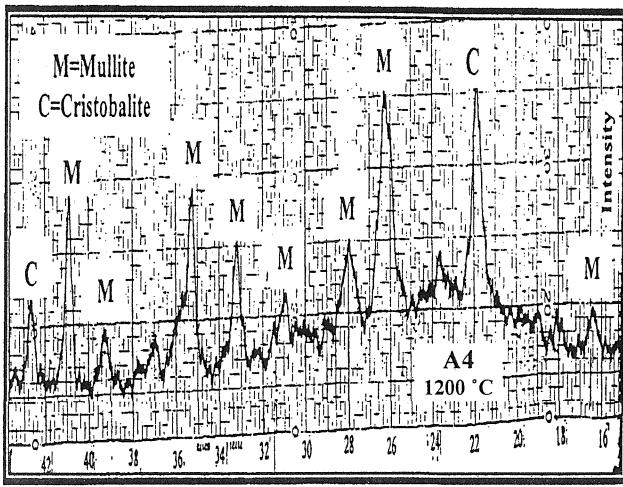
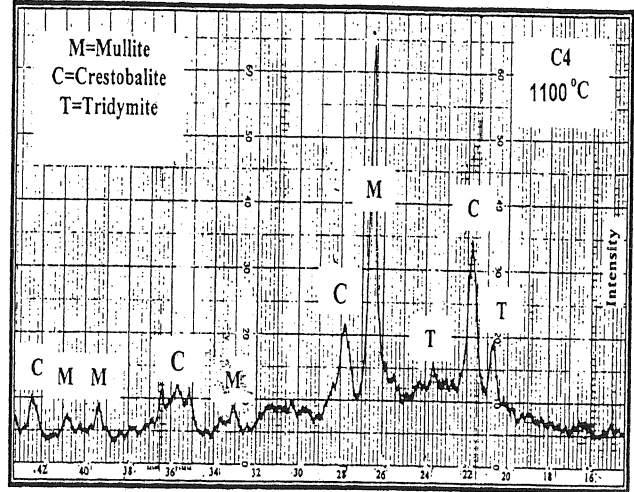
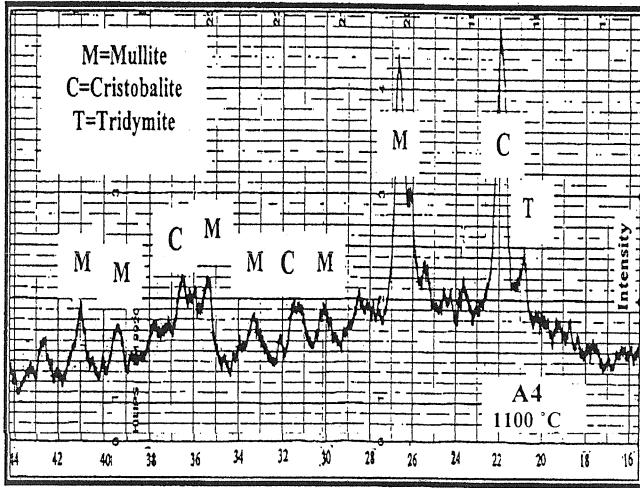
شكل 7: علاقة الخواص الفيزيائية مع تغير درجات حرارة الحرق لنماذج المجموعة C.



شكل 8: علاقة الخواص الميكانيكية مع تغير درجات حرارة الحرق للنماذج المختارة (A3,A4,B1,C4).



شكل 9: علاقة المقاومة الكيميائية (الفقدان بالوزن %) مع تغير درجات حرارة الحرق باستخدام المواصفات العالمية (GOST, ASTM) والمواصفة العراقية وعند الغمر بـ (H₂SO₄, HNO₃, NaOH).



شكل 10: مخططات الأشعة السينية الحائدة للنماذج (A4, C4) والمحروقة بدرجات حرارة 1100, 1200 م°.

جدول 6: المتطلبات الفيزيائية والكيميائية للبورسلين الكيميائي المصنع وفقاً للمواصفات الأمريكية

ASTM والمحروق بدرجات حرارة 1200 م° طبقاً لـ (www.lantecp.com)

ومقارنته مع مواصفات النماذج المصنعة.

الدراسة الحالية لعدد من النماذج المختارة (المدى)	الفحص (المواصفة)	القيمة	الخاصية
2.15- 2.2	-	2.25- 2.35	الوزن النوعي
0- 0.5	ASTM C373	< 0.5%	إمتصاصية الماء %
0.29- 0.85	ASTM C279	< 4%	مقاومة الأحماض (الفقدان بالوزن %)
1050- 1200	-	1250 to 1300	درجة حرارة الحرق °C
2.1- 2.28	-	2.32	الكثافة غم/سم ³
1000- 2100	ASTM C773	816	مقاومة الإنضغاط كغم/سم ²

جدول 7: المتطلبات الفيزيائية والميكانيكية والكيميائية للبلات البورسليني غير المزجج

المقاوم للأحماض والمصنع وفقاً للمواصفة العراقية (1627/1991) ومقارنته مع

مواصفات النماذج المصنعة.

الدراسة الحالية	المتطلبات	الخاصية
0- 4 %	2 % كحد أقصى	إمتصاصية الماء
1020- 2450 kg/cm ²	713.3 kg/cm ² كحد أدنى	مقاومة الإنضغاط
0.015- 0.85 %	لا يتجاوز الفقدان بالوزن على 1.5 %	مقاومة الأحماض
0.08-0.631	-	مقاومة القاعدة

الاستنتاج

1. إمكانية تصنيع أجسام بورسلينية مقاومة للأحماض والقواعد من المواد الخام المحلية الطبيعية (اطيان دويخلة الكاؤولينية، رمل ام أرضمة السليكي)، والمخلفات المنزلية من الزجاج، كما يمكن تصنيع هذه الأجسام من الكاؤولين ومخلفات الزجاج فقط دون الحاجة لإضافة الرمل السليكي.
2. صلاحية مخلفات الزجاج كمادة مصهرة بديلة عن الفلدسبار في تصنيع البورسلين قيد البحث وفعاليتها في خفض درجات الحرارة اللازمة لاتمام عملية التلييد.
3. ان افضل نسبة لمخلفات الزجاج المضافة حققت المواصفات المطلوبة للبورسلين قيد البحث هي 20% مخلفات زجاج، عند الحرق بدرجة حرارة 1200 م°. وان افضل خلطات أعطت افضل المواصفات هي الخلطات التي تكونت من 80-85 % كاؤولين 15-20 % زجاج.

المصادر العربية

- المواصفة القياسية العراقية رقم (1627)، 1991. البلاط السيراميكي غير المزجج المقاوم للأحماض. الجهاز المركزي للتقييس والسيطرة النوعية، ص 7,8.
- حسن، أحمد فالح، 2001. دراسة إمكانية استثمار خامات الكاؤولين والسليكا العراقية في إنتاج مواد سيراميكية مقاومة للأحماض. رسالة ماجستير غير منشورة، الجامعة التكنولوجية، 142ص.

المصادر الاجنبية

- ASTM, (C279-88), 1989. Chemical-Resistant Masonry Units. Annual Book of ASTM Standard, Vol.15.01.
- ASTM, (C326-82), 1989. Drying and firing shrinkage of Ceramic Whiteware clays. Annual Book of ASTM Standard, Vol. 15.02.
- ASTM, (C373-88), 1989. Water Absorption, Bulk density apparent porosity, apparent specific gravity of fired Whiteware products. Annual Book of ASTM Standard, Vol. 15.02.
- ASTM, (C773-88), 1989. Compressive (Crushing) Strength of Fired Whiteware Materials. Annual Book of ASTM Standard, Vol. 15.02.
- ASTM, (C775-79), 1989. Particale-size analysis of Wihteware clays. Annual Book of ASTM Standard Vol. 15.02.
- Budnikov, P.P., 1964. The Technology of Ceramic and Refractories. M.I.T. Press, Cambridge, 647p.
- Carty, W. and Senapati, U., 1998. Porcelain-Raw Materials, Processing, Phase Evolution and Mechanical Behavior. J. Am. Ceram. Soc., Vol.81, No.1, pp.3-20.
- Carty, W.M., 1999. The colloidal nature of Kaolinite. J. Am. Ceram. Soc. Bull., Vol.78, No.8, pp.72-76.
- Kingery, W.D., Bowen, H.K. and Uhlmann, D.R., 1976. Introduction to ceramics, 2nd Edition, John Willey and Sons, Inc. New York, 1032p.
- Ullmann's Encyclopedia of Industrial Chemistry, 2002. 6th Edition.
- Warrier, K.G.K., Mukundan, P., Pillai, K.P. and Damondaran, A.D., 1989. Partical Size of Quartz and the Vitrification of Porcelain Bodies. Interceram., Vol.38, No.5, pp.19-21.
- www.ansi.org., Granitifiandres Test Result against Industry Standards.
- www.lantecp.com., Lantee Ceramic Saddles.
- www.coorstek.com., Material Properties Standard.